

Истомина М.В.]- М.: Машиностроение, 1966.- 508 с. 4. Левитский Н.И. Колебания в механизмах / Н.И. Левитский.- М.: Наука, 1988.- 336 с. 5. Пановко Я.Г. Введение в теорию механических колебаний / Я.Г. Пановко.- М.: Наука, 1991.- 255 с. 6. Пановко Я.Г. Основы прикладной теории упругих колебаний / Я.Г. Пановко.- М.: Машиностроение, 1967.- 316 с. 7. Бидерман В.Л. Теория механических колебаний / В.Л. Бидерман .- М.: Высшая школа, 1980.- 408 с. 8. Бабаков И.М. Теория колебаний / И.М. Бабаков.- М.: Наука, 1964.- 560 с.

**Bibliography (transliterated):** 1. Den-Gartog Dzh.P. Mehanicheskie kolebanija / Dzh.P. Den-Gartog [per. s angl. Petrova L.I].- М.: Fizmatgiz, 1969.- 560 s. 2. Vibracii konstrukcij pri suhom trenii mezhdru jelementami / B.G. Korenev.- Н.: Prapor, 1970.- 176 s. 3. Cze F.S. Mehanicheskie kolebanija / Cze F.S., Morze I.E., Hinkl R.T. [ per. s angl. Istomina M.V.]- М.: Mashinostroenie, 1966.- 508 s. 4. Levitskij N.I. Kolebanija v mehanizmah / N.I. Levitskij.- М.: Nauka, 1988.- 336 s. 5. Panovko Ja.G. Vvedenie v teoriju mehanicheskikh kolebanij / Ja.G. Panovko.- М.: Nauka, 1991.- 255 s. 6. Panovko Ja.G. Osnovy prikladnoj teorii uprugih kolebanij / Ja.G. Panovko.- М.: Mashinostroenie, 1967.- 316 s. 7. Biderman V.L. Teorija mehanicheskikh kolebanij / V.L. Biderman .- М.: Vysshaja shkola, 1980.- 408 s. 8. Babakov I.M. Teorija kolebanij / I.M. Babakov.- М.: Nauka, 1964.- 560 s.

Ковтун А.В.

**ПРО ЗМІНУ РЕЗОНАНСНИХ ЧАСТОТ КОЛИВАНЬ МЕХАНІЧНИХ СИСТЕМ ПРИ НАЯВНОСТІ ТЕРТЯ**

Сформульовано й доведено твердження про зміну резонансних частот коливань механічних систем при наявності тертя. Наведено результати розрахунків.

Kovtun A.V.

**TO CHANGE THE RESONANT FREQUENCY OSCILLATION OF MECHANICAL SYSTEMS WITH FRICTION**

Formulated and proved the approval to change the frequency of resonance vibrations of mechanical systems with friction. This article describes the results of the calculations.

---

УДК 631.362:532

*Ольшанский В.П., д-р. техн. наук; Ольшанский С.В.*

**УПРОЩЕННЫЙ РАСЧЕТ КОЛЕБАНИЙ ЗЕРНОВОЙ СМЕСИ, СЕПАРИРУЕМОЙ ЦИЛИНДРИЧЕСКИМ ВИБРОРЕШЕТОМ**

**Постановка проблемы.** Для интенсификации виброрешетного разделения зерновых смесей на фракции нужно знать закономерности движения сыпучих материалов по вибрирующим поверхностям. Часто, с целью упрощения расчетов, определяют усредненную за период колебаний скорость потока зерновой смеси. Но такой приближенный подход к моделированию процесса движения не дает информации об изменении скорости во времени, а также о распределении вибрационных полей внутри зерновой смеси. Поскольку вибрации сопутствуют разделению зернового материала, желательно знать как распространяются они от виброрешета по объему движущегося зернового слоя. С этой целью приходится решать краевые задачи гидродинамики, используя

аналогию движений вязкой жидкости и виброоживленной сыпучей среды. Получение и анализ решений таких задач, позволяют усовершенствовать существующие математические модели движения сепарируемых зерновых смесей и поэтому относятся к актуальным научно-прикладным проблемам.

**Анализ последних исследований и публикаций.** Сдвиговые колебания зерновой смеси, как вязкой жидкости, вызванные осевыми вибрациями вертикального цилиндрического решета, рассматривали в [1,2]. При этом, упрощая математическую модель, пренебрегали в уравнении движения слагаемым с множителем  $1/r$ , где  $r$  – радиальная координата. По сути, рассматривалось движение смеси по плоской вибрирующей поверхности. Учет названного слагаемого проводился в [3,4], где решения задач гидродинамики получено в функциях Кельвина. Для упрощения расчетов рекомендовано использовать асимптотику цилиндрических функций большого аргумента, который соответствует реальным режимам работы решета. Однако, решая задачи колебаний виброоживленной зерновой смеси, в указанных публикациях не учитывали разделение зернового материала на проходovou и сходовую фракции. Чтобы повысить адекватность теории, следует учитывать просеивание зерен через отверстия в перфорированной поверхности виброрешета. Такой учет проводился в [5], где просеивание проходовой фракции на решете рассматривалось как просачивание жидкости через проницаемую цилиндрическую поверхность. Следуя [5], здесь этот подход к моделированию зернового потока распространяется на вибрирующую цилиндрическую поверхность, т.е. в отличие от указанной публикации, учитываются колебания зерновой смеси. Для упрощения математической модели предлагается в уравнении движения считать постоянным множитель  $1/r$ . Такое упрощение не дает существенных погрешностей в рассматриваемой задаче, поскольку толщина сепарируемого зернового слоя мала по сравнению с радиусом решета, т.е.  $1/r$  изменяется незначительно и его можно заменить средним значением. Пренебрегая изменением  $1/r$  удастся получить решение краевой задачи в элементарных функциях, что существенно упрощает проведение инженерных расчетов.

**Целью работы** является вывод и апробация приближенных формул для расчета колебаний скорости потока зерновой смеси внутри цилиндрического виброрешета в установившемся режиме его работы с учетом разделения смеси на проходovou и сходовую фракции.

**Основная часть работы.** При постановке краевой задачи учитываем осевую симметрию расчетной схемы, представленной на рисунке 1.

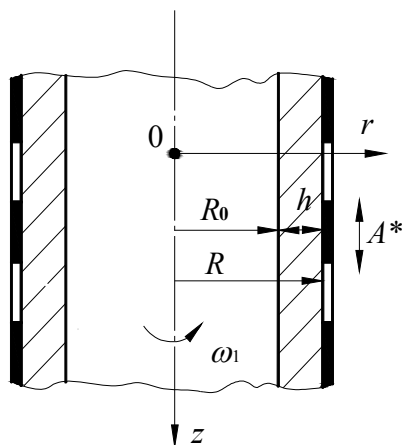


Рис. 1. Расчетная схема вертикального виброрешета с сепарируемой зерновой смесью

Символами  $r$  и  $z$  обозначены радиальная и осевая координаты;  $R$  – радиус решета;  $R_0 = R - h$  – внутренний радиус кольцевого слоя смеси толщиной  $h$ ;  $A^*$ ,  $\omega$  – амплитуда и частота вертикальных вибраций решета.

Вертикальную проекцию скорости потока зерна  $u_z$  определяем из уравнения

$$\frac{\partial^2 u_z}{\partial r^2} + \frac{1 - \lambda}{r} \frac{\partial u_z}{\partial r} - \frac{1}{v} \frac{\partial u_z}{\partial t} = -\frac{g}{v}, \quad (1)$$

которое отличается от уравнения, решаемого в [5], инерционным членом в левой части.

В (1)  $\lambda = \varepsilon v_{II} R v^{-1}$ ,  $\varepsilon$  – коэффициент «живого сечения» решета;  $v_{II}$  – радиальная проекция скорости просеивания зерен через отверстия в решете;  $g$  – ускорение свободного падения;  $v$  – эффективная кинематическая вязкость смеси;  $t$  – время.

Значение  $v$  зависит от механико-технологических характеристик зерновой смеси, параметров:  $R$ ,  $A^*$ ,  $\omega$  и угловой скорости вращения решета  $\omega_1$  [6].

Решение уравнения (1) должно удовлетворять граничным условиям:

$$u_z(R, t) = A^* \omega \cos(\omega, t); \quad \left. \frac{\partial u_z}{\partial r} \right|_{r=R_0} = 0. \quad (2)$$

Поскольку  $h \ll R$ , то в реальных условиях работы сепаратора величина  $r$  меняется незначительно. Поэтому для получения упрощенного решения краевой задачи заменим в (1) переменный коэффициент перед  $\frac{\partial u_z}{\partial r}$  его средним значением. В результате, вместо (1) будем решать уравнение с постоянными коэффициентами

$$\frac{\partial^2 u_z}{\partial r^2} + \frac{1}{R_*} \frac{\partial u_z}{\partial r} - \frac{1}{v} \frac{\partial u_z}{\partial t} = -\frac{g}{v}, \quad (3)$$

в котором  $R_*^{-1} = \frac{2(1 - \lambda)}{R_0 + R} = const$ .

Представим искомую проекцию скорости суммой

$$u_z(r, t) = u_1(r) + u_2(r, t), \quad (4)$$

в которой первое слагаемое не зависит от  $t$ .

Подставив (4) в (2) и (3), приходим к двум краевым задачам:

$$\frac{d^2 u_1}{dr^2} + \frac{1}{R_*} \frac{du_1}{dr} = -\frac{g}{v}; \quad (5)$$

$$u_1(R) = 0; \quad \left. \frac{du_1}{dr} \right|_{r=R_0} = 0$$

и

$$\frac{\partial^2 u_2}{\partial r^2} + \frac{1}{R_*} \frac{\partial u_2}{\partial r} - \frac{\partial u_2}{\partial t} = 0; \quad (6)$$

$$u_2(R, t) = A^* \omega \cos(\omega, t); \quad \left. \frac{\partial u_2}{\partial r} \right|_{r=R_0} = 0.$$

Первая из них решается понижением порядка дифференциального уравнения. Этот метод дает:

$$u_1(r) = \frac{gR_*}{v} \left\{ R - r + R_* \left[ \exp\left(\frac{R_0 - R}{R_*}\right) - \exp\left(\frac{R_0 - r}{R_*}\right) \right] \right\}, \quad (7)$$

при  $\lambda \neq 1$ .

Если  $\lambda = 1$ , то решением (5) является:

$$u_1(r) = \frac{g}{2v} \cdot \left[ (R_0 - R)^2 - (R_0 - r)^2 \right]. \quad (8)$$

Без усреднения переменной  $1/r$ , функция  $u_1(r)$  представляется выражением [5]:

$$u_1(r) = \frac{g}{\lambda v(2 - \lambda)} \cdot \left[ R_0^{2-\lambda} (r^\lambda - R^\lambda) + \frac{\lambda}{2} (R^2 - r^2) \right], \quad (\lambda \neq 2). \quad (9)$$

Формула (9) позволяет оценить точность приближения (7).

Решение второй граничной задачи (6) ищем в форме

$$u_2(r, t) = \mathbf{Re} [w(r)e^{i\omega t}] = \mathbf{Re} w(r) \cos(\omega t) - \mathbf{Im} w(r) \sin(\omega t), \quad (10)$$

где  $i = \sqrt{-1}$ ;  $w(r)$  – комплексная функция вещественного аргумента.

Она, согласно (6), удовлетворяет дифференциальному уравнению

$$\frac{d^2 w}{dr^2} + \frac{1}{R_*} \frac{dw}{dr} - \frac{i\omega}{v} w = 0, \quad (11)$$

и граничным условиям:

$$\mathbf{Re} w(R) = A^* \omega; \quad \mathbf{Im} w(R) = \mathbf{Im} \left. \frac{dw}{dr} \right|_{r=R_0} = \mathbf{Re} \left. \frac{dw}{dr} \right|_{r=R_0} = 0. \quad (12)$$

Характеристическое уравнение

$$\gamma^2 + \frac{1}{R_*} \gamma - \frac{i\omega}{v} = 0,$$

соответствующее (11), имеет комплексные корни:

$$\gamma_{1,2} = \alpha_{1,2} \pm i\beta,$$

причем  $\alpha_{1,2} = -\frac{1}{2R_*} \pm \frac{1}{\sqrt{2}} \sqrt{\sqrt{\frac{1}{16R_*^4} + \frac{\omega^2}{v^2}} + \frac{1}{4R_*^2}}$ ;  $\beta = \frac{1}{\sqrt{2}} \sqrt{\sqrt{\frac{1}{16R_*^4} + \frac{\omega^2}{v^2}} - \frac{1}{4R_*^2}}$ ,

$\lambda \neq 1$ .

В случае, когда  $\lambda = 1$ :

$$\alpha_{1,2} = \pm \beta_1; \quad \beta = \beta_1 = \sqrt{\frac{\omega}{2v}}.$$

Общим решением (11), при  $\lambda \neq 1$ , является:

$$w(r) = (c_1 + ic_2) \exp[(\alpha_1 + i\beta)\xi] + (c_3 + ic_4) \exp[(\alpha_2 - i\beta)\xi]. \quad (13)$$

Здесь  $\xi = r - R_0$ ;  $c_1, c_2, c_3, c_4$  – вещественные постоянные.

Их определяем с помощью (12). Решив систему четырех уравнений, находим:

$$\begin{aligned}
 c_1 &= \frac{b_2 A^* \omega}{b_1^2 + b_2^2} \cdot \exp(-\alpha_1 h); & c_2 &= -\frac{b_1 A^* \omega}{b_1^2 + b_2^2} \cdot \exp(-\alpha_1 h); \\
 c_3 &= a_1 c_1 + a_2 c_2; & c_4 &= -a_2 c_1 + a_1 c_2; \\
 a_1 &= \frac{\beta^2 - \alpha_1 \alpha_2}{\beta^2 + \alpha_2^2}; & a_2 &= \frac{\beta(\alpha_1 + \alpha_2)}{\beta^2 + \alpha_2^2}; \\
 b_1 &= \sin(\beta h) - \exp[(\alpha_2 - \alpha_1)h] \cdot [a_1 \sin(\beta h) + a_2 \cos(\beta h)]; \\
 b_2 &= \cos(\beta h) + \exp[(\alpha_2 - \alpha_1)h] \cdot [a_1 \cos(\beta h) - a_2 \sin(\beta h)].
 \end{aligned}$$

Если  $\lambda = 1$ , то решение краевой задачи (11), (12) имеет компактный вид [2]

$$w(r) = A^* \omega \frac{ch\left(\sqrt{\frac{\omega}{\nu}} i \xi\right)}{ch\left(\sqrt{\frac{\omega}{\nu}} i h\right)}. \quad (15)$$

Выделив в (13) вещественную и мнимую части, с учетом (4), (10) и (14), получаем формулу вертикальной проекции скорости потока зерновой смеси:

$$u_z(\xi, t) = \frac{gR_*^2}{\nu} \left[ \frac{h - \xi}{R_*} + \exp\left(\frac{-h}{R_*}\right) - \exp\left(-\frac{\xi}{R_*}\right) \right] + A_1(\xi) \cos(\omega t) - A_2(\xi) \sin(\omega t), \quad (16)$$

В ней

$$\begin{aligned}
 A_1(\xi) &= \exp(\alpha_1 \xi) \cdot [c_1 \cos(\beta \xi) - c_2 \sin(\beta \xi)] + \exp(\alpha_2 \xi) \cdot [c_3 \cos(\beta \xi) + c_4 \sin(\beta \xi)]; \\
 A_2(\xi) &= \exp(\alpha_1 \xi) \cdot [c_1 \sin(\beta \xi) + c_2 \cos(\beta \xi)] + \exp(\alpha_2 \xi) \cdot [c_4 \cos(\beta \xi) - c_3 \sin(\beta \xi)]; \\
 \lambda &\neq 1.
 \end{aligned}$$

При  $\lambda = 1$ , учитывая (4), (10) и (15), находим:

$$\begin{aligned}
 u_z(\xi, t) &= \frac{g}{2\nu} (h^2 - \xi^2) + A^* \omega [B_1 f_1(\xi) + B_2 f_2(\xi)] \cos(\omega t) - \\
 &\quad - A^* \omega [B_1 f_2(\xi) - B_2 f_1(\xi)] \sin(\omega t). \quad (17)
 \end{aligned}$$

$$\text{Здесь } B_1 = \frac{ch(\beta_1 h) \cos(\beta_1 h)}{sh^2(\beta_1 h) + \cos^2(\beta_1 h)}; \quad B_2 = \frac{sh(\beta_1 h) \sin(\beta_1 h)}{sh^2(\beta_1 h) + \cos^2(\beta_1 h)};$$

$$f_1(\xi) = ch(\beta_1 \xi) \cos(\beta_1 \xi); \quad f_2(\xi) = sh(\beta_1 \xi) \sin(\beta_1 \xi).$$

Если известна толщина кольцевого слоя  $h$ , то расчет производительности решета по сходовой фракции  $Q_c(t)$  также сводится к вычислению элементарных функций. Действительно, используя таблицы интегралов [7] и (16), при  $\lambda \neq 1$ , получаем:

$$\begin{aligned}
 Q_c(t) &\approx \pi(R_0 + R) \int_0^h u_z(\xi, t) d\xi = \frac{\pi g(R_0 + R) R_*^2}{\nu} \left[ \frac{h^2}{2R_*} + h \exp\left(-\frac{h}{R_*}\right) - R_* \times \right. \\
 &\quad \times \left. \left( 1 - \exp\left(-\frac{h}{R_*}\right) \right) \right] + \pi(R + R_0) [(c_1 S_1 - c_2 T_1 + c_3 S_2 + c_4 T_2) \cos(\omega t) + \\
 &\quad (-1)(c_1 T_1 + c_2 S_1 + c_4 S_2 - c_3 T_2) \sin(\omega t)].
 \end{aligned}$$

Здесь

$$S_j = \frac{1}{\alpha_j^2 + \beta^2} \{ \exp(\alpha_j h) \cdot [\alpha_j \cos(\beta h) + \beta \sin(\beta h)] - \alpha_j \};$$

$$T_j = \frac{1}{\alpha_j^2 + \beta^2} \{ \exp(\alpha_j h) \cdot [\alpha_j \sin(\beta h) - \beta \cos(\beta h)] + \beta \}; \quad j = \overline{1; 2}.$$

В частном случае, когда  $\lambda = 1$ , интегрирование (17) дает:

$$Q_c(t) \approx \frac{\pi g (R_0 + R) h^3}{3\nu} + \pi (R_0 + R) A^* \omega \cdot [(B_1 \Phi_1 + B_2 \Phi_2) \cos(\omega t) + (B_2 \Phi_1 - B_1 \Phi_2) \sin(\omega t)],$$

причем  $\Phi_{1,2} = \frac{1}{2\beta_1} [ch(\beta_1 h) \sin(\beta_1 h) \pm sh(\beta_1 h) \cos(\beta_1 h)]$ .

Производительность решета по сходовой фракции  $Q_{\Pi}$ , в рамках изложенной теории, не зависит от  $t$  и пропорциональна высоте рабочей поверхности  $L$ :

$$Q_{\Pi} = 2\pi R L \varepsilon \nu_{\Pi}.$$

От величины  $Q_{\Pi}$  зависит изменение толщины кольцевого слоя смеси по координате  $z$ . Пренебрегая этим изменением, усредненное по высоте решета значение  $h = const$  можно приближенно определить по формуле

$$h = \sqrt[3]{\frac{3\nu(Q - Q_{\Pi})}{2\pi g R}},$$

где  $Q$  – объем смеси, поступающий на решето в единицу времени.

**Результаты расчетов и выводы.** Используем следующие исходные данные:  $\rho = 750 \text{ кг/м}^3$ ;  $h = 0,01 \text{ м}$ ;  $\rho\nu = 0,66 \text{ Па}\cdot\text{с}$ ;  $R = 0,3075 \text{ м}$ ;  $\varepsilon = 0,4$ .

Вычисленные для них по формулам (7) и (9) значения  $u_1(r)$ , при  $\nu_{\Pi} = 0,005 \text{ м/с}$ , представлены в таблице 1.

Численный анализ показывает, что формула (7) является хорошим приближением точного решения (9).

В таблице 2 записаны, вычисленные по (16), значения скорости при  $A^* = 0,0075 \text{ м}$ ;  $\omega = 52,33 \text{ с}^{-1}$ ;  $\nu_{\Pi} = 0,0025 \text{ м/с}$  и прежних остальных исходных данных.

Таблица 1

Значения  $10u_1(r)$  в м/с, вычисленные двумя способами

$\xi h^{-1}$	0	0,2	0,4	0,6	0,8	0,9
$10u_1(r)$ , по (7)	5,55543	5,33255	4,66474	3,55279	1,99760	1,05403
$10u_1(r)$ , по (9)	5,55540	5,33260	4,66478	3,55282	1,99762	1,05405

Вычисления подтверждают затухание вибрационного поля с удалением от поверхности виброрешета. По мере приближения к свободной поверхности слоя ( $\xi \rightarrow 0$ ) уменьшаются амплитуды колебаний  $u_z(r, t)$ , но увеличивается среднее значение скорости, относительно которого происходят эти колебания.

Таблица 2

Значения  $10u_z(r, t)$  в м/с при различных  $r$  и  $t$

$\frac{\omega t}{\pi}$	$10u_1(r)$ , м/с; $\omega = 52,33 \text{ с}^{-1}$				
	$\xi h^{-1} = 0$	$\xi h^{-1} = 0,25$	$\xi h^{-1} = 0,5$	$\xi h^{-1} = 0,75$	$\xi h^{-1} = 1$
0,00	5,302	5,222	4,992	4,604	3,925
0,25	6,385	6,251	5,787	4,775	2,775
0,50	6,970	6,657	5,620	3,564	0,000
0,75	6,713	6,201	4,590	1,680	-2,775
1,00	5,766	5,151	3,299	0,227	-3,925
1,25	4,683	4,122	2,505	0,056	-2,775
1,50	4,099	3,716	2,671	1,267	0,000
1,75	4,355	4,172	3,701	3,151	2,775
1,95	5,081	4,992	4,751	4,398	3,876

В таблице 3 представленные, вычисленные по (16), значения скорости  $u_z(r, t)$  при  $A^* = 0,005 \text{ м}$ ;  $\omega = 78,5 \text{ с}^{-1}$ ;  $v_{II} = 0,0025 \text{ м/с}$ .

Увеличивая частоту  $\omega$ , здесь уменьшили амплитуду колебаний  $A^*$ , чтоб сохранить  $A^* \cdot \omega$  таким, как в предыдущем случае. Поэтому числа в последних колонках таблиц 2 и 3 совпадают. Но такого совпадения нет при других  $r$ . С увеличением  $\omega$  повысилась интенсивность затухания вибрационного поля с удалением от поверхности виброрешета. При  $\xi = 0$  в таблице 3 амплитуды колебаний скорости  $u_z(r, t)$ , меньше, чем в таблице 2.

Таблица 3

Значения  $10u_z(r, t)$  в м/с при различных  $r$  и  $t$

$\frac{\omega t}{\pi}$	$10u_1(r)$ , м/с; $\omega = 78,5 \text{ с}^{-1}$				
	$\xi h^{-1} = 0$	$\xi h^{-1} = 0,25$	$\xi h^{-1} = 0,5$	$\xi h^{-1} = 0,75$	$\xi h^{-1} = 1$
0,00	5,028	4,916	4,644	4,336	3,925
0,25	5,758	5,668	5,351	4,588	2,775
0,50	6,355	6,138	5,352	3,567	0,000
0,75	6,472	6,050	4,646	1,872	-2,775
1,00	6,039	5,457	3,647	0,495	-3,925
1,25	5,311	4,705	2,940	0,243	-2,775
1,50	4,713	4,235	2,941	1,264	0,000
1,75	4,596	4,323	3,645	2,960	2,775
1,95	4,907	4,771	4,450	4,133	3,876

О влиянии эффективной вибровязкости на распространение вибраций позволяют судить графики рисунке 2. Они рассчитаны при  $A^* = 0,005$  м;  $\omega = 78,5$  с<sup>-1</sup>;  $v_{II} = 0,0025$  м/с;  $\xi h^{-1} = 0,25$  для трех значений  $\mu = \rho\nu = 0,4; 0,6; 0,8$  Па·с.

С увеличением  $\rho\nu$  возрастают амплитуды колебаний и уменьшаются средние значения скорости движения, относительно которых происходят эти колебания.

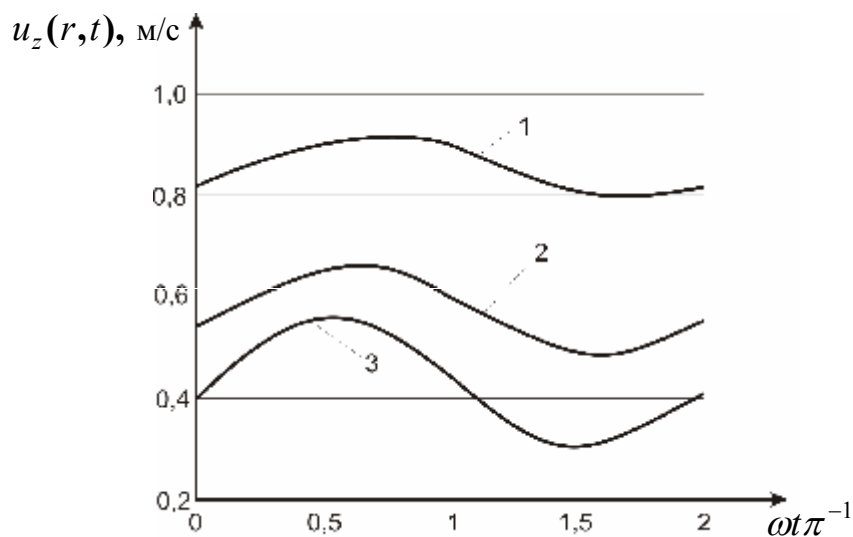


Рис. 2. Значения  $u_z(r,t)$ : 1,2,3 –  $\rho\nu = 0,4; 0,6; 0,8$  Па·с

Таким образом, изложенная упрощенная теория позволяет рассчитывать вибрационное поле в сепарируемой зерновой смеси цилиндрическим виброрешетом с учетом разделения ее на проходовую и сходовую фракции без применения специальных функций.

**Литература:** 1. Моделирование процессов зерновых сепараторов / Л.Н. Тищенко, Д.И. Мазоренко, М.В. Пивень, С.А. Харченко, В.В. Бредихин, А.В. Мандрыка. – Харьков: Миськдрук, 2010. – 360 с. 2. Тищенко Л.Н. О колебаниях скорости потока зерна на решетке виброцентробежного сепаратора / Л.Н. Тищенко, В.П. Ольшанский, С.В. Ольшанский // Механізація сільськогосподарського виробництва та переробки сільськогосподарської продукції: Вісник ХНТУСГ. – Харків: ХНТУСГ, 2010. – Вип. 103. – С. 95-104. 3. Ольшанский В.П. Колебания скорости потока сепарируемой зерновой смеси на цилиндрическом виброрешете / В.П. Ольшанский, С.В. Ольшанский // Динаміка і міцність машин: Вісник НТУ «ХПІ». – Харків: НТУ, 2010. – Вип. 69. – С. 100-108. 4. Тищенко Л.Н. Кинетика сепарируемых зерновых смесей в вертикальных цилиндрических виброрешетах / Л.Н. Тищенко, В.П. Ольшанский, С.В. Ольшанский // Вібрації в техніці та технологіях. – 2011. – № 1(61). – С. 177-181. 5. Тищенко Л.Н. К расчету движения зерновой смеси по вертикальному цилиндрическому решету виброрешетатора / Л.Н. Тищенко, В.П. Ольшанский, С.В. Ольшанский // Вібрації в техніці та технологіях. – 2009. – № 2(54). – С. 50-55. 6. Тищенко Л.Н. Сравнение двух способов определения коэффициента вибровязкости псевдооживленной зерновой смеси при виброцентробежном сепарировании / Л.Н. Тищенко, Ф.М. Абдуева, В.П. Ольшанский // Вібрації в техніці та технологіях. – 2008. – № 1(50). – С. 96-100. 7. Градштейн И.С. Таблицы интегралов, сумм, рядов и произведений / И.С. Градштейн, И.М. Рыжик. – М.: Наука, 1962. – 1100 с.



**Bibliography (transliterated):** 1. Modelirovanie processov zernovyh separatorov / L.N. Tiwenko, D.I. Mazorenko, M.V. Piven', S.A. Harchenko, V.V. Bredihin, A.V. Mandryka. – Har'kov: Mis'kdruk, 2010. – 360 s. 2. Tiwenko L.N. O kolebanijah skorosti potoka zer-na na reshete vibrocentrobezhnogo separatora / L.N. Tiwenko, V.P. Ol'shanskij, S.V. Ol'shanskij // Mehanizacija sil's'kogospodars'kogo virobništva ta pererobki sil's'kogospodars'koї produkcii: Visnik HNTUSG. – Harkiv: HNTUSG, 2010. – Vip. 103. – S. 95-104. 3. Ol'shanskij V.P. Kolebanija skorosti potoka separiruemoj zerno-voj smesi na cilindricheskom vibroreshete / V.P. Ol'shanskij, S.V. Ol'shanskij // Dinamika i micnist' mashin: Visnik NTU «HPI». – Harkiv: NTU, 2010. – Vip. 69. – S. 100-108. 4. Tiwenko L.N. Kinetika separiruemyh zernovyh smesej v vertikal'nyh cilindricheskih vibroreshetah / L.N. Tiwenko, V.P. Ol'shanskij, S.V. Ol'shanskij // Vibracii v tehnicі ta tehnologijah. – 2011. – № 1(61). – S. 177-181. 5. Tiwenko L.N. K raschetu dvizhenija zernovoj smesi po vertikal'nomu cilindricheskomu reshete vibrose-paratora / L.N. Tiwenko, V.P. Ol'shanskij, S.V. Ol'shanskij // Vibracii v tehnicі ta tehnologijah. – 2009. – № 2(54). – S. 50-55. 6. Tiwenko L.N. Sravnenie dvuh sposobov opredelenija kojefficienta vibrovjaskosti psevdoozhizhennoj zernovoj smesi pri vib-rocentrobezhnom separirovanii / L.N. Tiwenko, F.M. Abdueva, V.P. Ol'shanskij // Vibracii v tehnicі ta tehnologijah. – 2008. – № 1(50). – S. 96-100. 7. Gradshtejn I.S. Tab-licy integralov, summ, rjadov i proizvedenij / I.S. Gradshtejn, I.M. Ryzhik. – M.: Nauka, 1962. – 1100 s.

Ольшанський В.П., Ольшанський С.В.

**СПРОЩЕНИЙ РОЗРАХУНОК КОЛИВАНЬ ЗЕРНОВОЇ СУМІШІ, ЯКА СЕПАРУЄТЬСЯ ЦИЛІНДРИЧНИМ ВІБРОРЕШЕТОМ**

В результаті спрощення диференціального оператора Лапласа в полярній системі координат, за допомогою елементарних функцій описано гармонічні коливання швидкості руху зернової суміші в циліндричному решеті за усталеного режиму його роботи. Показано розрахунками, що введення спрощення диференціального рівняння не призводить до суттєвих похибок у розв'язку граничної задачі гідродинаміки для вібро-розрідженої зернової суміші.

Olshanskii V.P., Olshanskii S.V.

**SIMPLIFIED CALCULATION OF GRAIN MIX VIBRATIONS THAT SEPARATING OF THE CYLINDRICAL VIBROSIEVE**

As a result of simplification of the differential Laplace operator in polar coordinate system using elementary functions described harmonic vibration velocity of grain mixtures in cylindrical sieve for its steady-state operation. Calculations show that the simplification introduced a differential equation does not lead to significant errors in the hydrodynamics of the boundary problem for vibratoroliquefaction grain mixture.

УДК 618.514.01:517.977.5

*Радиевский А. Е., канд. техн. наук*

**ВЫНУЖДЕННОЕ ДВИЖЕНИЕ ГАРМОНИЧЕСКОГО ОСЦИЛЛЯТОРА**

**Введение.** Развитие механики тесно связано с изучением маятника и маятниковых систем. Ни одной механической системе не было уделено столько внимания как маятнику [1]. Маятник и маятниковые системы постоянно привлекали к себе внимание исследователей в различных областях математики, механики, физики и техники. В силу своей простоты маятник служил хорошей моделью для изучения сложных динамических процессов [2], что позволяло проводить экспериментальную проверку различных